

Автореферат  
Л1Ч

11

Одеська державна академія холоду

Лагутін Анатолій Юхимович

УДК 621.565

УДОСКОНАЛЕННЯ АПАРАТІВ ПОВІТРЯНОГО  
ОХОЛОДЖЕННЯ З ТРУБЧАСТО-РЕБЕРНИМИ  
ПОВЕРХНЯМИ (ТЕОРІЯ І ПРАКТИКА)

Спеціальність 05.04.03 – Холодильна і кріогенна техніка, системи  
кондиціювання



Автореферат дисертації

на здобуття наукового ступеня доктора технічних наук

ОДЕСА – 1998

Дисертація є рукопис.

Робота виконана в Одеській державній академії холоду.

Науковий консультант –

доктор технічних наук, професор, заслужений діяч науки і техніки УРСР Чепуринко Віктор Павлович, проректор Одеської державної академії холоду

Офіційні опоненти:

доктор технічних наук, професор **Федоров Володимир Гаврилович**, професор кафедри теплотехніки Українського державного університету харчових технологій;

доктор технічних наук, професор **Бурде Олег Григорович**, завідувач кафедри процесів та апаратів Одеської державної академії харчових технологій;

доктор технічних наук, професор **Притула Валерій Васильович**, завідувач кафедри теплообміну Одеської державної академії холоду

Провідна установа –

Одеський державний політехнічний університет

Захист відбудеться 16 11 1998 р. о 11 годині на засіданні спеціалізованої іченої ради № 41.067.01 при Одеській державній академії холоду за адресою: 270026, м.Одеса, вул.Дворянська, 1/3.

Дисертацію можна ознайомитись у бібліотеці ОДАХ ( 270026, м.Одеса, вул.Дворянська, 1/3.)

Записано «15» 10 1998 року.

Р.К.Нікульшин

где  
каждой  
для  
контроля А1  
параллельно  
блока замкнуты  
стене усиления А1.  
ение уставки токовой  
выполненного на основе  
дни " +12В " и напряжение А3  
ей номинальную, на выходе А3  
запирает ключ

1

## ЗАГАЛЬНА ХАРАКТЕРИСТИКА РОБОТИ

XV1181  
ІНСТИТУТ ХОЛОДУ  
ОНАХТ  
БІБЛІОТЕКА

Актуальність проблеми. Україна, незважаючи на потужну структуру металургійної галузі, в економічній політиці Союзу, яка склалася в минулому, не мала підприємств по виробництву крупних повітряних теплообмінників для галузі енергетичного комплексу. У відмінних умовах, з урахуванням фізичного старіння апаратів та їх значної вартості на світових ринках, особливу гостроту й актуальність набуває проблема створення вітчизняної бази по виробництву повітряних теплообмінників. Рішення поставлених задач неможливе без створення нового і оцінки ефективності існуючого теплообмінного устаткування енергетичних систем та установок.

Економічна ефективність заміни водяного охолодження технологічних та енергетичних установок на повітряне заслуговує на постійну увагу і пересінки. Технічні рішення використання водяних теплообмінників звичайно продиктовані їх низькою вартістю і не враховують екологічних проблем, загрози фізичного старіння і високих експлуатаційних витрат. Досвід експлуатації апаратів повітряного охолодження в переважній країнах світу вказує на переважне їх використання навіть у тих районах, де дефіцит води не є визначним фактором.

Широта області використання реберних систем теплоізводу (повітроподібні, "сухі" градирні, утилізатори, конденсатори повітряного охолодження, і т.д.) призводить до значного збільшення витрат металу.

Зрост потреби металу висуває проблему пошуку оптимальних варіантів теплообмінних поверхонь, в процесі удосконалення яких вирішуються сучасні проблеми економії енергетичних і матеріальних ресурсів. Підвищення енергетичної ефективності апаратів тісно пов'язано з інтенсифікацією процесів теплообміну і визначенням оптимальних режимів їх експлуатації.

У цьому зв'язку виникала необхідність всебічного експериментального і теоретичного дослідження процесів, які протікають у теплообмінниках повітряного охолодження різного призначення.

Задача роботи з програмами, постановами, планами, темами. Робота тематично пов'язана з виконанням: Постанови АН СРСР №214 від 23.12.85; Постанови ДКНТ СРСР №555 від 30.10.85; Постанови ДКНТ УРСР №535 від 31.12.86; Постанови Мінвузу України №78 від 21.03.91; Постанови ДКНТ України №84 від 3.08.93; Постанови МО України №271 від 15.06.96.

Робота також у свій час була пов'язана з виконанням республіканських науково-технічних програм РН.16.03.18, РН.16.04.21 (Постанова РМ УРСР №580 від 28.10.1980) та господарських тем (номери держреєстрації №75034820, №77044958 та інш.).

Мета і задачі дослідження. Метою роботи було створення наукових основ, які забезпечують розробку, проектування і промислове освоєння економічних апаратів повітряного охолодження різного призначення на базі нових типів трубчасто-реберних теплообмінних поверхонь.

Для досягнення поставленої мети необхідно вирішити такі задачі:  
– з урахуванням технологічних особливостей методу літва під тиском алюмінієвого розплаву на сталеву трубу і режимів експлуатації апаратів, виконати обґрунтuvання геометричних параметрів оброблення біметалевих теплообмінних поверхонь;

- визначити характер взаємодії температурних полів реберних елементів і повітряного потоку у міжреберній порожнині з метою виявлення шляхів і методів інтенсифікації теплообміну;
- на підставі результатів експериментального дослідження теплових та аеродинамічних характеристик пучків труб з новими видами оребрення виконати узагальнення дослідних даних з метою одержання критеріальних залежностей для розрахунку повітряних теплообмінників;
- створити аналітичні моделі тепло провідності ребер удосконалених форм для одержання інженерних методів розрахунку їх ефективності;
- провести дослідну оцінку термічних опорів контакту основної сталевої труби з оребреною алюмінієвою муфтою;
- за результатами структурного і параметричного аналізів, на підставі розробленої математичної моделі холодильної установки здійснити обґрунтування оптимальних режимних параметрів теплообмінників повітряного охолодження;
- за результатами випробувань дослідно-промислових зразків повітряних теплообмінників різного призначення, виготовлених за базі запропонованих оребрених труб, здійснити оцінку раціональності їх використання.

Наукові положення, які виносяться на захист.

1. Нідвищення енергетичної ефективності і зниження холода смоксості теплообмінних апаратів повітряного охолодження досягається створенням трубчасто-реберних поверхонь з перемішаним профілем ребер і організацією потовщеною частиною ребра конфузорно-дифузорної зміни живого перерізу проходу повітря по рядах труб шахового пучка.
2. Інтенсифікація термогідравлічних процесів у реберних системах тепловідводу базується на використанні бісегментних поперечних ребер із орієнтацією їх меншої осі у напрямку охолоджуючого потоку повітря.
3. При високій інтенсивності внутрішнього теплообміну покращення енергетичних показників повітряних теплообмінників забезпечується збільшенням коефіцієнта оребрення за рахунок створення високих ребер.
4. У математичній моделі оптимізації режимів роботи апаратів повітряного охолодження холодильних установок програмний вибір числа ступенів стискування компресорів є додатковим аргументом у процедурі мінімізації приведених витрат.

Наукова новизна і наукові результати. Теоретично і експериментально доведена теплова та аеродинамічна перевага теплообмінних поверхонь з удосконаленою формою (бісегмент) і профілем (змінна товщина) ребер.

Вперше в світовій практиці виготовлені та досліджені високореберні теплообмінні поверхні з коефіцієнтом оребрення  $\beta = 36.4$ .

Одержані узагальнюючі критеріальні залежності з розрахунку теплових і аеродинамічних характеристик пучків труб з високими ребрами і ребрами з новою формою та профілем.

Підтверджена область максимального теплозйому радіального поперечного ребра в його екваторіальній зоні.

Одержані аналітичні залежності, які описують теплову ефективність ребер з новою формою і профілем.

Захищені авторськими свідоцтвами теплообмінники повітряного охолодження на базі запропонованих нових видів оребрення.

Експериментально підтверджено, що технологічний процес літва під тиском забезпечує надійний контакт різномірних металів основної труби і муфтового оребрення.

На підставі створеної математичної моделі виконано обґрунтування оптимальних режимних параметрів повіtroохолоджуачів та конденсаторів повітряного охолодження холодильних установок.

Достовірність наукових результатів, наукових положень і практичних рекомендацій підтверджено погодженням результатів теоретичних, експериментальних і промислових досліджень.

Практична значущість результатів роботи полягає у такому:

- розроблена математична модель може бути використана для структурного та параметричного аналізів холодильної установки з метою обґрунтування оптимальних умов її експлуатації і економічного вибору комплектуючого устаткування;
- одержані значення термічного контактного опору, аналітичні рівняння розрахунку теплової ефективності ребер удосконалених форм і розрізів та емпіричні залежності щодо розрахунку теплових і аеродинамічних характеристик шахових пучків труб, використані у практиці проектування апаратів повітряного охолодження всілякого призначення.

Впровадження результатів роботи проведено на чотирьох виробничих об'єднаннях хімічної промисловості і на дев'яти підприємствах харчової промисловості, де взагалі успішно експлуатується понад 50 теплообмінників повітряного охолодження.

Спільно з різними проектними організаціями здійснено розробку технічної документації на серію апаратів повітряного охолодження. Налагоджено серійне виробництво теплообмінників.

За термін з 1988 по 1998 рр. на ВО «Українопромреммаш» м.Оріхів Запорізької області виготовлено 642 повіtroохолоджуача.

Для установок охолодження компрімірованого повітря на ВАТ "Хіммін" (м.Сніжне Донецької області) та СНВО ім.Фрунзе (м.Суми) виконано випуск 19 міжступеневих охолоджувачів повітря МО-600.

Особливий внесок автора у роботах, які опубліковані у співавторстві, полягає у постановці ідей і завдань розробок, адаптації моделей та їх зіставленні з експериментальними даними; у розробці експериментальних методик і стендів; у проведенні досліджень, статистичній обробці їх результатів; розробці вихідних даних для проектування; впровадженні апаратів і їх промислових дослідженнях (випробуваннях).

Апробація. Теоретичні і експериментальні розділи дисертації обговорювались і схвалені: Всесоюзним семінаром "Використання досягнень холодильної техніки і технології з метою підвищення ефективності харчових виробництв", м.Москва (1981); Всесоюзною науково-практичною конференцією "Інтенсифікація виробництва і використання штучного холоду", м.Ленінград (1981); Всесоюзною науково-практичною конференцією "Штучний холод в галузях агропромислового комплексу", м.Москва (1987); VII Республіканською конференцією "Підвищення ефективності, удосконалення процесів і апаратів хімічних виробництв", м.Львів (1988); Всесоюзною науково-практичною конференцією "Шляхи інтенсифікації виробництв із застосуванням штучного холоду в галузях агропромислового комплексу, у торгівлі і на транспорті", м.Одеса (1989); I conferencia internacional de refrigeracion climatizacion y energia no convencional, Habana, Cuba, 1990; XVIII International Congress of Refrigeration, Montreal, Canada, 1991; Energy efficiency in refrigeration and global warming impact. Conference

ence International, Chent, Belgium, 1993; CFC, The DAY AFTER International conference, Padua, Italy, 1994; XIX International Congress of Refrigeration, The Hague, The Netherlands, 1995; Proceedings of the 1996 International Compressor Engineering Conference at Pardue, Indiana, USA, 1996; на науково-технічних конференціях професорсько-викладацького складу ВУЗу (1984-1995).

За кращу наукову роботу "Розробка, дослідження і впровадження високоефективних конденсаторів аміаку з повітряним охолодженням та повіtroохолоджувачів виробничих та розподіляючих холодильників" авторський колектив групи теплообмінних апаратів ОТІХП (у теперішній час - ОДАХ) нагороджено почесною грамотою Міністерства вищої і середньої спеціальної освіти СРСР.

Публікації. Склад роботи відбито у 33 наукових роботах, у тому числі 13 статтях, 8 опублікованих доповідях на республіканській конференції, міжнародних конференціях та конгресах, у 8 тезах доповідей на конференціях та у 4 авторських свідоцтвах.<sup>1</sup>

Структура роботи. Робота складається зі вступу, семи розділів, основних результатів та висновків, списку використаних джерел і додатку, викладена на 370 сторінках тексту, в тому числі 4 сторінки додатку, містить 89 рисунків і 39 таблиць.

## ОСНОВНИЙ ЗМІСТ РОБОТИ

У вступі розглянуто стан проблеми, обґрунтована практична актуальність роботи, її зв'язок з постановами, програмами, темами, сформульовані мета і задачі дослідження, наукові положення, показана наукова новизна результатів, підтверджена практична значущість роботи і реалізація її результатів у промисловості.

У першому розділі розглянуті характерні особливості впливу геометричних параметрів оребрення на теплові та аеродинамічні показники пучків труб. Відмічена відсутність експериментальних даних з досліджень високореберних систем теплоізвіду. Їх відсутність у проектах створення повітряних теплообмінників продиктовано недосконалістю сучасних техпроцесів виготовлення трубчасто-реберних поверхонь.

Розглянуті окремі (часткові) питання ступеня впливу нерівномірності теплоізвідачі на ефективність ребер, термічних опорів контакту ребра з трубою, тепло-технічних і аеродинамічних показників роботи повітроохолоджувачів в умовах масообміну.

При аналізі математичних моделей оптимізації режімів роботи холодильних установок виявлені основні напрямки в описі моделей, визначені фактори, які порушують адекватність моделей реальному фізичному об'єкту.

Розглянуті основні типи теплообмінних поверхонь, які використовуються при створенні теплообмінних апаратів холодильних установок. Виконано аналіз характеристик та питомих показників теплообмінників повітряного охолодження.

На підставі результатів аналізу літератури були сформульовані вищезгадані ціль і задачі дослідження.

У другому розділі виконано обґрунтування геометричних параметрів оребрення для теплообмінних поверхонь, виготовлених методом лиття під тиском.

Сутність цього методу полягає в тому, що поперечне оребрення необхідних форм і розмірів на нессучій трубі формувалось із алюмінієвого розплаву у спеціальній прес-формі. Умови пресування забезпечували добру заповненість робочих порожнин формостворюючих вкладишів рідким металом. Алюмінієвий сплав АК-7 ГОСТ2685-

75, який кристалізувався, внаслідок усадки щільно обхоплює сталеву трубу реберним елементом муфтового типу, створюючи надійний контакт біметалевої пари. Оксидна плівка, яка утворюється на поверхні виливок, уберігає їх від корозії, збільшуєчи термін служби апаратів.

Основними перевагами техпроцесу, вважаємо:

- можливість виготовлення поперечних ребер різних форм і специфічних перерізів;
- можливість створення номенклатури оребрених поверхонь у широкому діапазоні значень коефіцієнта оребрення;
- надійність механічного контакту різновідніх металів основної труби та оребрених;
- можливість використання вторинного алюмінію в процесі підготовки ливарного сплаву, що забезпечує безвідхідну технологію.

Особливості використаного методу накладають специфічні обмеження на геометричні параметри оребрених. Необхідність забезпечення мінімально допустимих ливарних схилів наскладає обмеження на мінімальну товщину ребра. Умови механічної і термічної мінімальністі формоутворюючих вкладишів ливарної форми обмежують мінімально можливий крок ребер ( $u_p \geq 4$  мм).

З урахуванням зазначеного, для апаратів з високою інтенсивністю внутрішнього теплообміну необхідний ступінь розвитку поверхні забезпечувався за рахунок зміни висоти ребра ( $h_p$ ). Для зменшення висоти ребра запропоновано обмеження на мінімально припустиму його ефективність ( $E_p \geq 0.7$ ) з урахуванням фактора зростання маси ребер за рахунок їх потовщення зі зростанням висоти при додатковому збільшенні ливарних схилів та умови рівності термічних опорів на сторонах теплообмінних есердовиць.

Варіантні розрахунки впливу висоти ребра і відповідно ступеня оребрення φ на теплові показники апаратів повітряного охолодження (APO), виконані за спеціально розробленими програмами.

Оцінка енергетичної ефективності теплообмінників без зміни агрегатного стану внутрішнього теплоносія здійснювалась за методом М.В.Кирпичова

$$E = \frac{Q_0}{\sum_{i=1}^n N_i}, \quad (1)$$

де:  $N_i$  – витрати потужності на транспортування  $i$ -го теплоносія, кВт;

$Q_0$  – тепlopродуктивність апарату, кВт.

На рис.1 наведено зіставлення АПО енергетичної ефективності при різних швидкостях повітря у живому перерізі апаратів.

Як видно із рисунка, при швидкості повітря у живому перерізі апарату  $\omega_p = 3$  м/с, енергетична ефективність Е зростає із збільшенням ступеня оребрення. В міру зростання швидкості повітря, темп зміни Е нівелюється.

Зі зміною швидкості води у трубах апарату ( $\omega_w = 1.5 \dots 2.5$  м/с) область активного впливу ступеня оребрення і відповідно висоти ребра на енергетичну ефективність апаратів поширилась до значення швидкостей повітря  $\omega_p = 7 \dots 8$  м/с.

Результати зіставлення поверхонь за питомими масовими і об'ємними показниками вказують, що в області параметрів ( $\phi = 26$ ;  $\beta = 36.4$ ;  $h_p = 0.0261$  м) спостерігається мінімум масового показника оребреної поверхні при неухильному зниженні питомого

об'єму апарату при збільшенні ступеня оребрення. На протилежність відміченому зі збільшенням останньої спостерігалося зростання абсолютних значень поверхні теплообміну, об'єму та маси апаратів при зниженні енергетичних витрат на транспорт теплоносіїв.

При аналізі результатів зіставлення конденсаторів повітряного охолодження (КПО) встановлені аналогічні якісні результати.

Дані вибіркових режимів, варіантних розрахунків КПО покладені в основу визначення області геометрических розмірів ребер, які відповідають умові рівності термічних опорів ( $R_s = R_{bh}$ ). На рис.2 наведені значення термічних опорів на зовнішньому ( $R_s$ ) і внутрішньому ( $R_{bh}$ ) боках КПО при швидкості повітря у живому перерізі  $\omega_n = 10 \text{ м/с}$ .

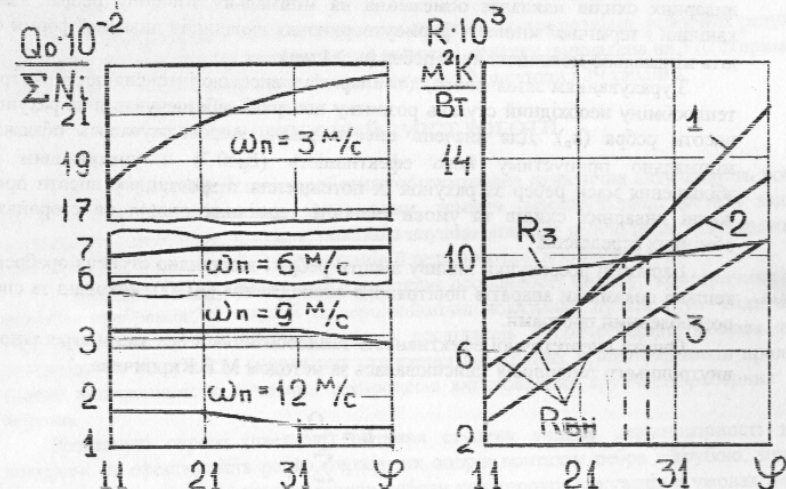


Рис.1 Зіставлення теплообмінників за енергетичною ефективністю.

З урахуванням розбіжності даних визначення коефіцієнтів тепловіддачі аміаку, що конденсується, значення ( $R_{bh}$ ) визначні за залежностями різних авторів.

На підставі встановленої області ( $R_s = R_{bh}$ ) і питомих масових і об'ємних показників для КПО прийнята висота ребра  $h_p = 0.026 \text{ м}$ .

На підставі аналітичного рішення тепlopровідності біметалевої оребреної труби, з урахуванням складових термічних опорів, визначено товщину алюмінієвої муфти біля основи ребер.

Для АПО з урахуванням їх призначення і режимів експлуатації розроблена гравідація теплообмінних поверхонь.

У третьому розділі подано результати експериментального дослідження термогравілічних процесів, які проходять в елементах повітряних теплообмінних апаратів. Тут наведено опис конструкції експериментальних стендів, методик дослідження і обробки дослідних даних. Для збільшення дозвільної здатності дослідів за рахунок зменшення числа вимірювань на моделях одиночних ребер і оребрених елементів при візуальному контролі температури поверхні ребер за допомогою рідких кристалів та термодатчиків визначалась мінімальна кількість і місце встановлення термопар для ефективної оцінки температурного поля в дослідженнях коефіцієнтів тепловіддачі пучків оребрених труб.

У спробах на одиничних моделях на висоті ребра  $h_p = 35 \text{ мм}$  від його основи до вершини було встановлено 7 термопар. Вимірювання температури поверхні ребра в діапазоні зміни швидкостей повітря  $\omega_n = 3.5 \dots 19.6 \text{ м/с}$  здійснювалось за рахунок повороту ребра вздовж потоку повітря від  $0^\circ$  до  $180^\circ$  з інтервалом  $15^\circ$ . Температурні розподілення по висоті ребра показали, що у лобовій зоні  $\phi = 0 \dots 60^\circ$  біля вершини ребра спостерігалось різке зниження його температури, а її зростання було зафіксовано в основі ребра, а найбільше суттєве – у зоні за екватором ( $\phi = 90 \dots 180^\circ$ ). Відносна картина температурного розподілу по висоті алюмінієвого ребра не змінювалась при збільшенні швидкості охолоджуючого повітря. Тут слід зазначити, що для високих ребер ( $h_p = 35 \text{ мм}$ ) в області до  $15 \text{ мм}$  від основи ребер зростання температури поверхні свідчить про зниження теплової ефективності цієї зони (рис.3).

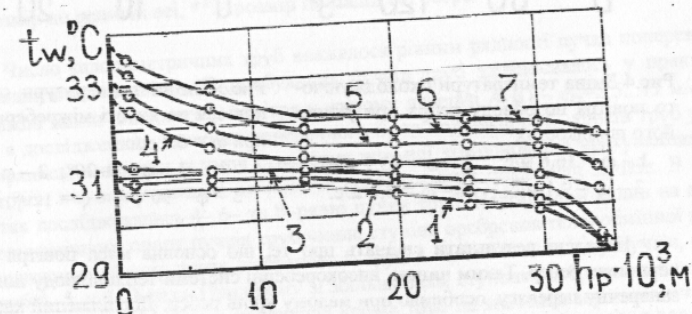


Рис.3 Розподіл температури по висоті ребра  
1 –  $\phi = 0^\circ$ ; 2 –  $\phi = 30^\circ$ ; 3 –  $\phi = 60^\circ$ ; 4 –  $\phi = 90^\circ$ ; 5 –  $\phi = 120^\circ$ , 6 –  $\phi = 150^\circ$ ; 7 –  $\phi = 180^\circ$

При аналізі теплообміну в умовах вимушеного руху повітря і оцінки участі різних зон ребра у його сумарному теплообміні важливе значення має характер зміни температури охолоджуючого потоку повітря. Картина зміни температури повітря по обводу ребра при різних значеннях його швидкості показана на рис.4. Тут, на відміну від температури поверхні, виявлено вплив швидкості повітря на температурну нерівномірність потоку. Зі збільшенням швидкості потоку його температурна нерівномірність знижувалась. Температурні розподілення потоку повітря по висоті міжреберної порожнини визначені при різній орієнтації термопар по потоку (рис.5),

показали, що у лобовій зоні ( $\phi = 0 \dots 90^\circ$ ) температура повітря мало змінювалась, а її різке підвищення спостерігалось у зоні за скватором ( $\phi = 120 \dots 180^\circ$ ). Відносна картина температурного стану повітряного потоку по висоті міжреберної порожнини не змінювалась при збільшенні швидкості повітря.

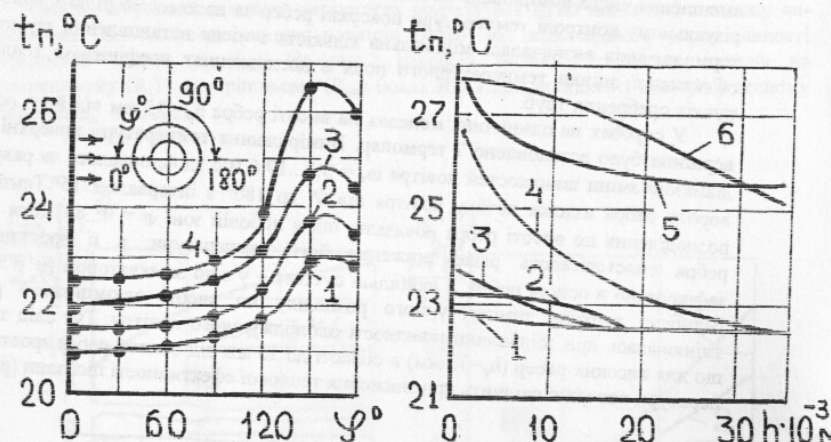


Рис.4 Зміна температури охолоджуючого повітря по обводу ребра при різних його швидкостях

1 –  $\omega = 16,6 \text{ м/с}$ ; 2 –  $\omega = 13,7 \text{ м/с}$ ;  
3 –  $\omega = 9,1 \text{ м/с}$ ; 4 –  $\omega = 6,1 \text{ м/с}$ .

Наведені результати свідчать про те, що основна маса повітря проходить по вершинах ребер. Таким чином, високореберні системи тепловідводу повинні мати незаперечну перевагу, особливо при малому кроці ребер. Дослідженій характер локального розподілення коефіцієнтів тепловіддачі від поверхні ребер і зміни температурних напорів підтвердили низьку теплову ефективність кормової зони ребер.

Отримані результати лягли в основу створення високореберних поверхонь із коефіцієнтом оребрення  $\beta = 36.4$  і удосконалених видів поперечних ребер у формі еліпса та бісегментта. Їх спретична доцільність підтверджена при випробуваннях пучків труб.

При дослідженнях теплових характеристик пучків труб використовувався метод локального теплового моделювання при стаціонарному тепловому потоці. Аеродинамічні показники пучків труб визначались в ізотермічних умовах. В експериментах використовувались труби шести модифікацій. Всього досліджено 22 пучки шахової компоновки. Геометричні параметри досліджених труб наведені в таблиці.

Рис.5 Зміна температури охолоджуючого повітря по висоті міжреберної порожнини при  $\omega = 6,1 \text{ м/с}$

1 –  $\phi = 0 \dots 30^\circ$ ; 2 –  $\phi = 60^\circ$ ;  
3 –  $\phi = 90^\circ$ ; 4 –  $\phi = 120^\circ$ ; 5 –  $\phi = 180^\circ$

Число калориметричних труб вважалося рівним рядності пучка поперек потоку охолоджуючого повітря. Випробування пучків труб здійснювалось у практичному діапазоні зміни швидкостей повітря у живому перерізі АПО –  $\omega_n = 2.5 \dots 11 \text{ м/с}$ . Прийняті в дослідженнях значення поперечного  $S_1$  та подовжнього  $S_2$  кроків труб у пучках вибирались, виходячи із умов створення щільної компоновки з урахуванням оцінки факторів, які впливають на теплові та аеродинамічні показники пучків. В експериментах досліджувались 4–6- та 8-рядні пучки труб. Найбільший вплив на величину аеродинамічного опору пучків труб чинив ступінь оребрення теплообмінної поверхні. Аеродинамічний опір пучка, набраного із труб А-4, більший за опір пучків, набраних із труб А-5, у 2...3 рази. При цьому зі збільшенням ступеня оребрення змінився закон опору. Тут слід зазначити, що в діапазоні зміни кроку ребер ( $0.013 \dots 0.016 \text{ м}$ ) різко змінювався показник ступеня при числі Рейнольдса. З урахуванням зазначеного, для розрахунку аеродинамічного опору досліджених пучків труб запропоновані такі узагальнючі залежності:

Таблиця

Показники	Позначення оребрених труб					
	A-1	A-2	A-3	A-4	A-5	A-6
Форма ребер	Еліпс	Бісег- мент	кругле, трапецієвидного пе- рерізу			Кругле, змінного перерізу
Діаметр основної труби, мм	25x2.5	20x2	25x2.5	25x2.5	25x2.5	25x2.5
Діаметр труби біля основи ре- бер, мм	28	23	28	28	28	28
Крок ребер, мм	4	5	13	4	16	4.5
Висота ребра, мм	26*/ 11**	22.5*/ 8.5**	24	26	24	26
Товщина ребра біля вершини	0.9	0.6	0.6	0.6	0.6	див. рис.6
Біля основи	2	1.8	2	2	2	
Маса 1 п.м. оребrenoї труби, кг/м	4.0	2.0	2.9	5.3	2.65	5.14
Площа зовнішньої поверхні 1 п.м., м <sup>2</sup>	1.41	0.70	0.73	2.29	0.58	2.04
Коефіцієнт оребрення, $\beta$	25.5	13.9	11.0	36.4	9.2	32.5
Ступінь оребрення, $\varphi$	16.0	9.7	7.8	26.0	6.6	23.2

\* – розмір по великій осі; \*\* – розмір по малій осі ребра.

Число калориметричних труб вважалося рівним рядності пучка поперек потоку охолоджуючого повітря. Випробування пучків труб здійснювалось у практичному діапазоні зміни швидкостей повітря у живому перерізі АПО –  $\omega_n = 2.5 \dots 11 \text{ м/с}$ . Прийняті в дослідженнях значення поперечного  $S_1$  та подовжнього  $S_2$  кроків труб у пучках вибирались, виходячи із умов створення щільної компоновки з урахуванням оцінки факторів, які впливають на теплові та аеродинамічні показники пучків. В експериментах досліджувались 4–6- та 8-рядні пучки труб. Найбільший вплив на величину аеродинамічного опору пучків труб чинив ступінь оребрення теплообмінної поверхні. Аеродинамічний опір пучка, набраного із труб А-4, більший за опір пучків, набраних із труб А-5, у 2...3 рази. При цьому зі збільшенням ступеня оребрення змінився закон опору. Тут слід зазначити, що в діапазоні зміни кроку ребер ( $0.013 \dots 0.016 \text{ м}$ ) різко змінювався показник ступеня при числі Рейнольдса. З урахуванням зазначеного, для розрахунку аеродинамічного опору досліджених пучків труб запропоновані такі узагальнючі залежності:

а) для пучків, набраних із труб А-5,

$$\frac{\Sigma u}{z} = 0.42 \cdot \sigma_1^{0.58} \cdot \sigma_2^{-0.36} \cdot Re^{-n}, \quad (2)$$

де  $n = 0.11 \cdot \varphi^{0.07}$ ;

б) для пучків, набраних із труб А-3,

$$\frac{\Sigma u}{z} = 2 \cdot \sigma_1^{0.58} \cdot \sigma_2^{-0.66} \cdot Re^{-n}, \quad (3)$$

де  $n = 0.22 \cdot \phi^{0.105}$

в) для пучків, набраних із труб А-4,

$$\frac{\Sigma u}{z} = 3.1 \cdot \sigma_1^{0.58} \cdot \sigma_2^{0.3} \cdot Re^{-n}, \quad (4)$$

де  $n = 0.22 \cdot \phi^{0.105}$

$\sigma_1 = S_1/d$  – безрозмірний поперечний крок труб;

$\sigma_2 = S_2/d$  – безрозмірний подовжній крок труб.

Розходження дослідних і розрахункових значень аеродинамічних опорів по вищевказаних рівняннях не перевищувало 6.2%.

В результаті аналізу експериментальних даних щодо теплообміну пучків труб одержано узагальнююче критеріальне рівняння для розрахунку конвективних коефіцієнтів тепловіддачі для пучків, набраних із труб А-3 – А-6.

$$Nu_k = (1 - n) \cdot C_z \cdot C_s^m \cdot \phi^{-0.5} \cdot Re^n, \quad (5)$$

де  $C_z$  – коефіцієнт, що враховує число рядів труб вздовж потоку повітря;

$$C_s = \left( \frac{S_1 - d}{S_2 - d} \right) - \text{коєфіцієнт форми пучка};$$

$$n = 0.61 \cdot \phi^{0.08}; m = S_2 + \phi^{-0.48};$$

$d$  – діаметр труби біля основи ребер.

Значення коефіцієнта  $C_z$  визначено на підставі порядного дослідження коефіцієнтів тепловіддачі пучків труб. Обмеження використання рівняння (5) за параметрами дорівнюють:  $Re = (6...20) \cdot 10^3$ ;  $\phi = 6.6 - 26$ ;  $S_1 = 0.082 - 0.11$  м;  $S_2 = 0.06 - 0.1$  м.

У наведених критеріях подібності (2)-(5) як визначальні параметри вибрали швидкість повітря у живому перерізі пучка і діаметр труби біля основи ребер.

Розрахункові значення залежності  $Nu_k = f(Re)$  із запропонованого рівняння (5) забезпечують добре узгодження розрахункових і експериментальних значень у межах 9%.

Особливий інтерес викликають результати аеродинамічного дослідження пучків труб із змінною товщиною ребер (пучки №16–21), тип поверхні А–6. Загальний вигляд та геометричні розміри обробленої поверхні зі змінною товщиною ребер наведені на рис. 6. Не зважаючи на рівнозначність компонувочних рішень ( $S_1 = \text{const}$ ), ( $S_2 = \text{const}$ ) пучків, що розглядаються, їх аеродинамічний опір залежав від розташування ліній максимальної товщини ребра відносно потоку повітря, що набігає (рис. 7).

За результатами порівняльного аналізу крашого (пучок №18) і гіршого (пучок №19) пучків встановлено розшарування дослідних точок у межах 25–28%.

На рисунках 8 та 9 наведено даний розподіл дослідних точок по діаметру та висоті пучка (0–100% від діаметру та висоти пучка). Видно, що дослідні точки, що ділять діаметр та висоту пучка на 10 рівних частин, є дуже розрізнені.

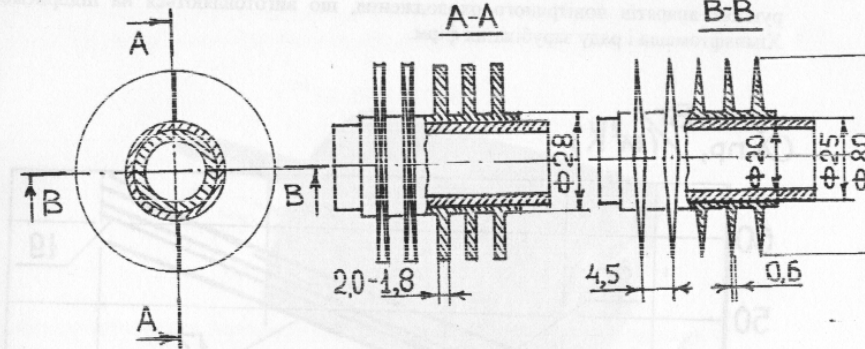


Рис.6 Загальний вигляд і розміри поверхні з ребрами змінної товщини

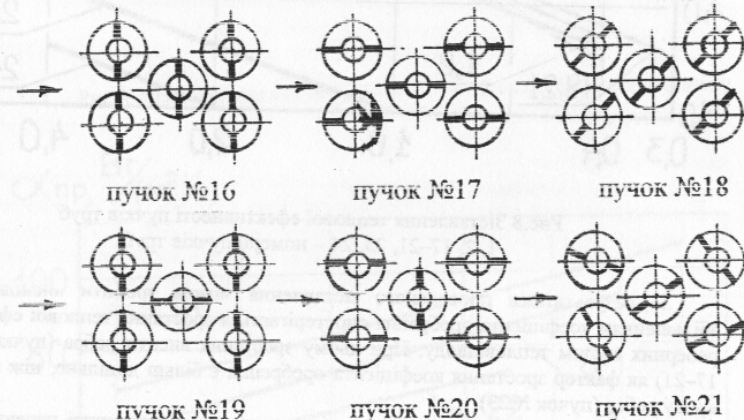


Рис.7 Компонування пучків труб №16–21

Для всіх пучків (№16–21) єдиним змінним параметром була середня міжреберна відстань або площа живого перерізу проходу повітря. У деяких пучках (№19, №20) живий переріз змінювався також по рядах труб пучка. В дослідах встановлено, що сприятливим фактором зниження аеродинамічного опору пучків труб є постійність живого перерізу по рядах труб пучка. Порівняльна оцінка теплової ефективності досліджені пучків №17–21 і пучків, набраних із труб А-4 (пучки №1, №2), одержана на підставі методики В.М.Антуф'єва, наведена на рис. 8. У пучках, що розглядаються, в межах зміни питомої витрати потужності на транспорт охолоджуючого повітря при  $N_0 = 0.3 \dots 3.0 \text{ Вт}/\text{м}^2$  краші показники мав пучок №20 з організацією потовщеній час-

тини ребра конфузорно-дифузорної течії потоку повітря. На рис.8 для порівняння наведена теплова ефективність теплообмінних поверхонь (№23, метод навивання ребер –  $\varphi = 22$  та №24, метод накатування ребер –  $\varphi = 9$ ), які використовуються в конструкціях апаратів повітряного охолодження, що виготовляються на підприємствах Хімнафтотомаша і ряду зарубіжних фірм.

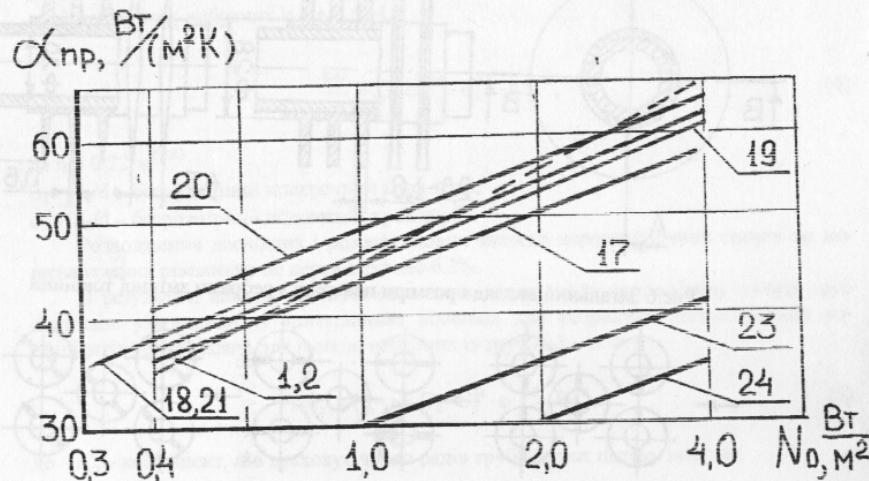


Рис.8 Зіставлення теплової ефективності пучків труб  
1, 2, 17-21, 23, 24 – номери пучків труб

За результатами проведеного зіставлення можна зробити висновок, що зі збільшенням коефіцієнта оребрення спостерігається зростання теплової ефективності реберних систем тепловідводу. При цьому зростання висоти ребра (пучки №№1, 2, 17-21) як фактор зростання коефіцієнта оребрення є більш доцільне, ніж зменшення кроку ребер (пучок №23).

В результаті експериментального підтвердження енергетичної переваги оребрених труб із еліптичною формою ребер у кандидатській дисертації автора (тип поверхні А-1) при відробці знаряддя ливарної форми для їх виготовлення в процесі удосконалення її технологічності і покращення масових показників були одержані ребра бісегментної форми. Загальний вигляд оребреної поверхні наведено на рис.9.

Результати дослідження теплових і аеродинамічних показників пучків, набраних із труб з бісегментним оребренням (пучки №11, №22) з різною орієнтацією великої осі ребра відносно набігального потоку повітря, використані для порівняльної оцінки з поверхнями які мають еліптичне оребрення (пучки №8, №10). Порівняльна оцінка теплової ефективності для досліджених пучків №8, №10, №11, №22 наведена на рис.10. У пучках, що розглядаються, кращі показники має пучок №11 (бісегментне оребрення з орієнтацією великої осі ребра поперек потоку повітря). Його теплова ефективність у межах зміни  $N_0 = 1.8...10 \text{ Вт}/\text{м}^2$  вища, ніж у пучка №8 (еліптичне

оребрення з орієнтацією великої осі еліпса поперек потоку повітря). Пучки труб, оребрення з орієнтацією великої осі еліпса поперек потоку повітря (пучки №22, №10), мають орієнтовані великою віссю ребер вздовж потоку повітря (пучки №22, №10), мають більш низку теплову ефективність.

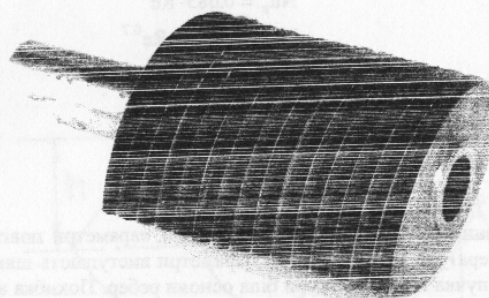


Рис.9 Загальний вигляд поверхні А-2 з ребрами бісегментної форми

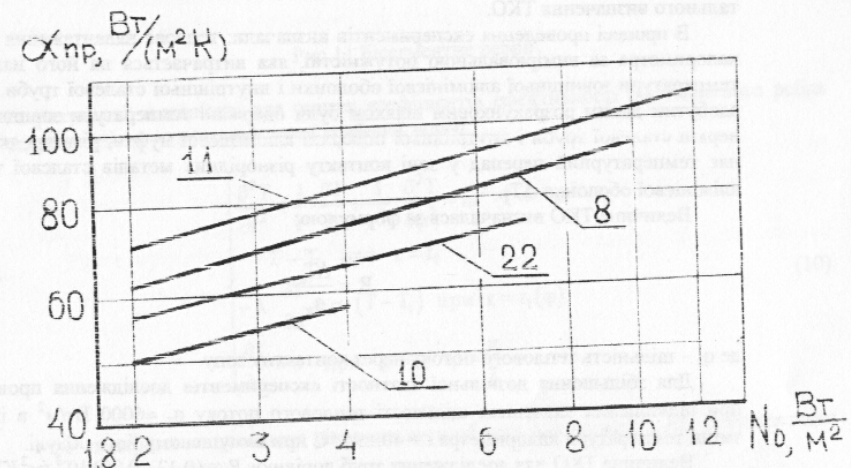


Рис.10 Зіставлення теплової ефективності пучків труб  
8, 11, 10, 22 – номери пучків труб

Останнє є незаперечним доказом, що екваторіальні ділянки ребер відіграють переважну роль у сумарному теплообміні реберної поверхні.

Результати дослідів за приведеними і конвективними коефіцієнтами тепловидідчі і аеродинамічним опором пучків труб з ребрами бісегментної форми узагальнені такими критеріальними залежностями:

$$Nu_k = 0.085 \cdot Re^{0.76} \quad (6)$$

$$Nu_{up} = 0.120 \cdot Re^{0.7} \quad (7)$$

$$\frac{\epsilon u}{z} = 0.79 \cdot C_s \cdot Re^{-0.082}, \quad (8)$$

де  $C_s = \left[ \frac{S_2 - d}{(S_1 - d) / 2} \right]^{-0.2}$  – коефіцієнт форми пучка.

У наведених критеріях подібності фізичні параметри повітря беремо при його середній температурі. Як визначальні параметри виступають швидкість повітря у живому перерізі пучка і діаметр труби біля основи ребер. Похибка апроксимації не перевищує 8%. Межа застосування одержаних рівнянь обмежена діапазоном зміни кроків труб  $S_1$  та  $S_2$  і чисел Рейнольдса ( $Re$ ) цього дослідження.

Існуючі напів empirичні залежності різних авторів не дають можливості визначити величину термічного контактного опору (ТКО) обребених труб, тому що невідома частина визначальних параметрів, пов'язаних зі специфікою технології виготовлення обребення методом литва під тиском. Тому в роботі використано засіб експериментального визначення ТКО.

В процесі проведення експериментів визначали: теплове навантаження електрокалориметра за вимірюваною потужністю, яка витрачається на його нагрівання, температури зовнішньої алюмінієвої оболонки і внутрішньої сталевої труби. Завдяки здобутим даним розрахунковим шляхом були одержані температури зовнішньої поверхні сталевої труби і внутрішньої поверхні алюмінієвої муфти, різниця яких виявляє температурний перепад у зоні контакту різномірних металів сталової труби та алюмінієвої оболонки  $\Delta T_k$ .

Величина ТКО визначалась за формулою:

$$R = \frac{\Delta T_k}{q_k}, \quad (9)$$

де  $q_k$  – щільність теплового потоку через контактну зону.

Для збільшення дозвільної здатності експериментів дослідження проводились при підвищених значеннях щільності теплового потоку  $q_k \approx 6000 \text{ Вт}/\text{м}^2$  в інтервалі зміни температури калориметра  $t = 40 \dots 95^\circ\text{C}$  при вимушенному його обдуві.

Величина ТКО для досліджених труб дорівнює  $R = (0.13 \dots 0.29) \cdot 10^{-3} (\text{м}^2 \cdot \text{К})/\text{Вт}$ .

Отримані значення дозволяють зробити висновок, що метод литва під тиском забезпечує надійний контакт різномірних металів (алюміній–сталі). В експериментах встановлено, що величина ТКО залежить від температурних умов роботи біметалевих труб і на її значення не впливають геометричні розміри несучої труби. Слід припустити, що в умовах низьких температур у разі використання біметалевих поверхонь в

конструкціях повіtroхолоджувачів, дійсна величина ТКО буде нижча від одержаних дослідних даних.

У четвертому розділі наведені аналітичні рішення диференціальних рівнянь тепlopровідності центросиметричних ребер довільної форми. Бісегментне ребро (рис. 11) розглянуто як окремий випадок одного з можливих варіантів форм.

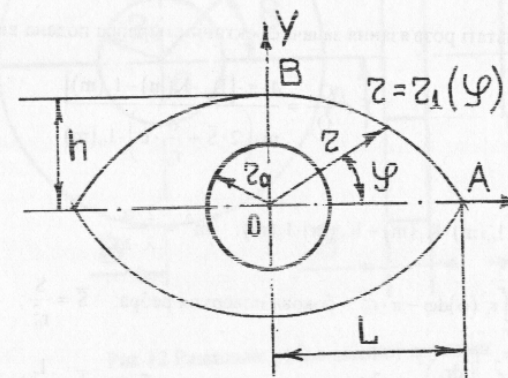


Рис. 11 Бісегментне ребро

Розрахункові залежності для оцінки коефіцієнтів ефективності бісегментного ребра одержані після розв'язання такої крайової задачі.

$$\begin{cases} \frac{\partial^2 T}{\partial r^2} + \frac{1}{r} \cdot \frac{\partial T}{\partial r} + \frac{1}{r^2} \cdot \frac{\partial^2 T}{\partial \phi^2} - m^2 \cdot T = -m^2 \cdot T_1 \\ T = T_0 \quad \text{при } r = r_0 \\ -\lambda \cdot \frac{\partial T}{\partial n} = \alpha \cdot (T - T_1) \quad \text{при } r = r_1(\phi) \\ \frac{\partial T}{\partial \phi} = 0 \quad \text{при } \phi = 0, \phi = \frac{\pi}{2} \end{cases} \quad (10)$$

У полярних координатах рівняння дуги обводу для сегмента AB бісегментного ребра подано у вигляді:

$$r_1(\phi) = R \cdot \sqrt{1 - \epsilon^2 \cdot \cos^2 \phi} - \epsilon \cdot \sin \phi, \quad 0 \leq \phi \leq \frac{\pi}{2}$$

$$\frac{\partial T_1}{\partial \varphi} = R \cdot \left\{ \frac{\varepsilon^2 \cdot \sin 2\varphi}{2 \cdot \sqrt{1 - \varepsilon^2 \cdot \cos^2 \varphi}} - \varepsilon \cdot \cos \varphi \right\},$$

при  $\varphi = \frac{\pi}{2}$     $\frac{\partial T_1}{\partial \varphi} = 0$ ,   при  $\varphi = 0$     $\frac{\partial T_1}{\partial \varphi} = -\varepsilon \cdot R$ ,

$$\text{де } \varepsilon = 1 - \frac{h}{R}.$$

В результаті розв'язання задачі ефективність ребра подана виразом:

$$E = \frac{Q_0}{Q_1} = \frac{4 \cdot \pi \cdot [B_0 \cdot K(m) - I_1(m)]}{m \cdot \left( 2 \cdot \bar{S} + \frac{\delta}{r_0} \cdot L \right) \cdot I_0(m)}, \quad (11)$$

$$\text{де } K(m) = I_0(m) \cdot K_1(m) + K_0(m) \cdot I_1(m), \quad m^2 = \frac{2 \cdot \alpha}{\lambda \cdot \delta};$$

$$\bar{S} = 4 \cdot \int_0^{\pi/2} r_1^2(\varphi) d\varphi = \pi \cdot r_0^2 - \text{бокова поверхня ребра}; \quad \bar{S} = \frac{S}{r_0^2};$$

$$L = 4 \cdot \int_0^{\pi/2} \sqrt{\left( \frac{dr_1}{d\varphi} \right)^2 + r_1^2} d\varphi - \text{довжина торня ребра}; \quad \bar{L} = \frac{L}{r_0};$$

$$B_0 = \frac{I_1(m \cdot r)}{I_0(m) \cdot K_1(m \cdot r) + K_0(m) \cdot I_1(m \cdot r)}$$

Для круглого радіального ребра зі змінною товщиною ребра (рис. 12), нехтуючи тепловіддачею з його торня, стаціонарне рівняння теплопровідності і граничні умови, припустивши, що змінні величини  $t(r, \theta) = T(r, \theta) - T_1$ ,  $r = mr(x = \rho \cdot \cos \theta; y = \rho \cdot \sin \theta)$ , записано у вигляді

$$\begin{cases} \frac{\partial^2 t}{\partial r^2} + \frac{1}{r} \cdot \frac{\partial t}{\partial r} + \frac{1}{r^2} \cdot \frac{\partial^2 t}{\partial \theta^2} - q(r, \theta) \cdot t = 0 \\ t = T_* \quad \text{при } r = r_0, \quad \frac{\partial t}{\partial r} = 0 \quad \text{при } r = r_e, \\ t(r, \theta) = t(r, \theta + 2\pi) \end{cases} \quad (12)$$

де  $T(r, \theta)$  – температура ребра в точці  $(r, \theta)$ ;  $T_* = T_0 - T_1$ ,

$$\begin{cases} r_0 = m \cdot \rho_0 \\ r_e = m \cdot \rho_e \end{cases} \quad \text{безрозмірні радіуси; } \quad m^2 = \frac{2 \cdot \alpha}{\lambda \cdot \delta}$$

Функція  $q(r, \theta)$  пов'язана з впливом змінності товщини ребра на розподілення температури у ребрі.

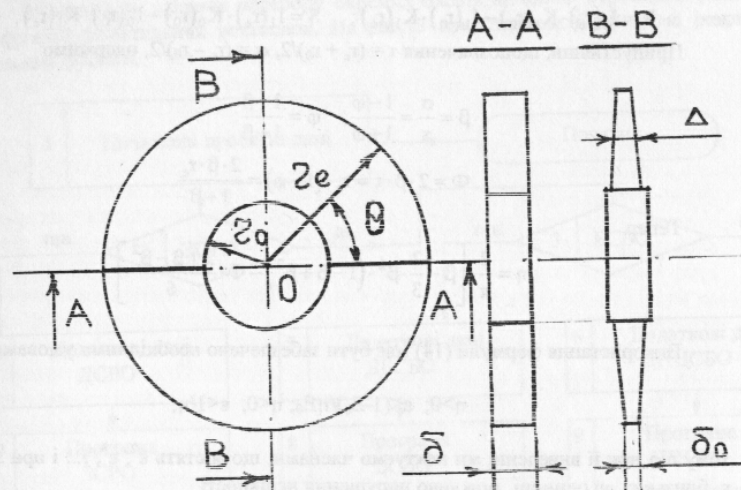


Рис. 12 Радіальне ребро змінної товщини

З урахуванням різного набігання охолоджуючого потоку повітря відносно по-тovщині частини ребра, товщину ребра  $\Delta = \Delta(r, \theta)$  уявляємо символічно

$$\Delta(r, \theta) = \Delta \left[ 1 - \varepsilon \cdot \frac{r \cdot |\sin \theta|}{r_e \cdot |\cos \theta|} \right], \quad \varepsilon = \frac{\delta - \delta_0}{\delta} < 1. \quad (13)$$

У разі подовжнього набігання потоку повітря відносно потовщеній частини ребра у квадратних дужках формули (13) слід взяти  $|\sin \theta|$ , для поперечного набігання –  $|\cos \theta|$ .

Використовуючи одержаний вираз  $t(r, \theta)$ , визначаємо теплову ефективність ребра

$$E = \frac{Q_0}{Q_1} = E_0 \cdot (1 + \varepsilon \cdot \eta), \quad (14)$$

де  $E_0$  – ефективність ребра постійної товщини ( $\delta_p$ ), що визначається відомим співвідношенням:

$$E_0 = \frac{2 \cdot \varphi}{r_e \cdot (1 - \varphi^2)} \cdot \frac{R}{S},$$

XV/1181

ІНСТИТУТ ХОЛОДА  
ОНАХТ  
БІБЛІОТЕКА

де  $R = I_1(r_c) \cdot K_1(r_0) - I_1(r_0) \cdot K_1(r_c)$ ;  $S = I_1(r_c) \cdot K_0(r_0) - I_0(r_0) \cdot K_1(r_c)$ .  
Припустивши, що позначення  $\tau = (r_c + r_0)/2$ ,  $\sigma = (r_c - r_0)/2$ , одержимо

$$\beta = \frac{\sigma}{\tau} = \frac{1-\varphi}{1+\varphi}; \quad \varphi = \frac{1-\beta}{1+\beta},$$

$$\Phi = 2 \cdot \beta \cdot \tau = r_c \cdot (1-\varphi) = \frac{2 \cdot \beta \cdot r_c}{1+\beta}.$$

Тепер

$$\eta = \frac{2}{\pi} \left[ \beta - \frac{2}{3} \cdot \beta^2 \cdot (1-\beta+\beta^2) - \Phi \cdot \frac{2+\beta-\beta^2}{6} \right]. \quad (15)$$

Використання формули (14) має бути забезпечене необхідними умовами:

$$\eta > 0; \quad \varepsilon < (1-E_0)/\eta E_0; \quad \eta < 0, \quad \varepsilon < 1/\eta,$$

тому що при її виведенні ми нехтуємо членами, що містять  $\varepsilon^2, \varepsilon^3, \dots$  і при значеннях  $\varepsilon$ , близьких до одиниці, можливо порушення нерівності

$$0 < E = E_0(1+\varepsilon \cdot \eta) \leq 1.$$

Зіставлення одержаних аналітичних виразів для розрахунку ефективності бісегментного ребра (11) і ребра змінного профілю (14) з відповідними експериментальними значеннями показало добре їх узгодження.

У п'ятому розділі наєдно опис математичної моделі оптимізації холодильних установок різного призначення, які укомплектовані теплообмінниками повітряного охолодження (конденсаторами та повіtroохолоджувачами).

При розробці моделі як цільова функція вибрана змінна частина наведених витрат

$$ПЗ = \sum_{i=1}^n N_i \cdot \bar{U}_e \cdot \tau + \sum_{i=1}^m (Z_i + Z_{hi}). \quad (16)$$

Враховуючи неправомірність вибору як незалежних перемінних взаємопов'язаних параметрів (перепад температур і температурного напору), у даний постапонці задачі як параметри, що оптимізуються, вибрали перепади температур повітря у повіtroохолоджувачі ( $\Delta t_a$ ) і конденсаторі повітряного охолодження ( $\Delta t_k$ ), а також падіння температур холодоносія ( $\Delta t_p$ ) у випарнику, у схемі із проміжним теплоносієм. Для оптимального режиму визначалися недостатні параметри, які використовуються у практиці проектування й експлуатації холодильних установок за умов рівноважного перетину з урахуванням параметрів даного устаткування і оптимальних значень перепадів температур середовищ  $\Delta t_i$ .

Взяті до розгляду схеми холодильних установок, безпосереднього охолодження (безнасосні і насосно-циркуляційні) і з проміжним теплоносієм включають до складу вузли, математичний опис яких дозволяє здійснити моделювання і оптимізацію сучасних систем холодильних установок.

У моделі за рахунок перебору окремих блоків можливо отримання різних модифікацій холодильних установок. На рис.13 представлена блок-схема розрахунку цільової функції.

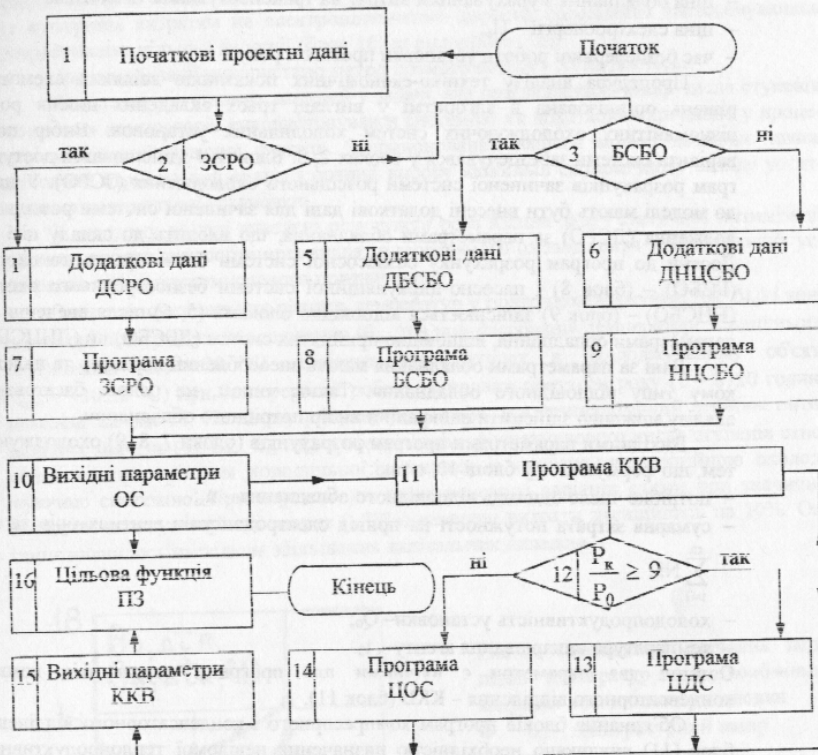


Рис. 13 Блок-схема розрахунку

Варіанти розв'язання задач реалізовувались у ході послідовного цілеспрямованого пошуку оптимальних значень незалежних перемінних – перепадів температур середовищ ( $\Delta t_i$ ).

- Початкові проектні дані, запровадження яких здійснювалось блоком 1, є такі:
- теплове навантаження терmostатуючого об'єкту (камери) без урахування тепла, що вноситься електродвигунами вентиляторів повіtroохолоджувачів –  $Q_{внн}$ ;
  - температура навколошнього середовища –  $t_{нн}$ ;
  - температура повітря у камері –  $t_{кам}$ ;
  - тип і характеристики застосованого обладнання;
  - вид холодильного агенту і проміжного теплоносія;

- термін амортизації обладнання;
- частка ціни обладнання, щорічно відрахована на ремонт та реновацию;
- нормативний коефіцієнт ефективності капітальних витрат;
- ціна обладнання з урахуванням витрат на транспортування та монтаж;
- ціна електроенергії –  $C_e$ ;
- час безперервної роботи установки протягом року –  $t$ .

Процедура аналізу техніко-економічних показників всіляких схемотехнічних рішень організована в алгоритмі у вигляді трьох вкладених циклів розрахунку різноманітних охолоджуючих систем холодильних установок. Вибір потрібного варіанта системи забезпечувався у блоках 2, 3. Блоком 4 здійснювалася доступ до програм розрахунків зачиненої системи розсільного охолодження (ЗСРО). У цьому разі моделі мають бути внесенні додаткові дані для зачиненої системи розсільного охолодження (ДСРО) за параметрами обладнання, що входить до складу цієї системи. Доступ до програм розрахунку безнасосної системи безпосереднього охолодження (БСБО) – (блок 8) і насосно-циркуляційної системи безпосереднього охолодження (НЦСБО) – (блок 9) здійснюється відповідно блоками (5, 6) після введення даних за параметрами обладнання, відповідно прийнятих систем (ДВСБО) чи (ДНЦСБО).

Дані за параметрами обладнання мають знеособленій характер та належать усякому типу відповідного обладнання. Таким чином, на основі багаторівантного аналізу можливо здійснити найкращий вибір потрібного обладнання.

Вихідними параметрами програм розрахунків (блоки 7, 8, 9) охолоджуючих систем, що формуються у блоці 10, є такі:

- потрібне число одиниць відповідного обладнання –  $n_k$ ;
- сумарна затрата потужності на привід електродвигунів вентиляторів та насосів –  $\sum_{i=1}^m N_i$ ;
- холодопродуктивність установки –  $Q_0$ ;
- температура випарювання агенту –  $t_0$ .

Останні два параметри є вхідними для програм розрахунків компресорно-конденсаторного відділення – ККВ (блок 11).

Об'єднання блоків програм компресорного і конденсаторного відділень в один блок (11) викликало необхідність визначення невідомої тепlopродуктивності конденсаторів ( $Q_k$ ) при ітераційних розрахунках на основі методу послідовних наближень.

Для керування подальшим процесом розрахунків при застосуванні ітераційного лічильника блоком 12 формувалася керуюча ознака, відношення тисків конденсації  $P_k$  та випарювання  $P_0$ , ( $P_k/P_0 \geq 9$ ), що забезпечує цілеспрямований вибір підпрограм розрахунків циклів одноступеневого стиску ЦОС (блок 14) чи двоступеневого стиску ЦДС (блок 13).

Вихідними параметрами програм розрахунків ККВ (блоки 11, 13 чи блоки 11, 14), є такі:

- потрібна кількість одиниць відповідного обладнання –  $n_k$ ;
- сумарна затрата потужності на привід електродвигунів вентиляторів, насосів і компресорів –  $\sum_{i=m}^n N_i$ ;

- тепlopродуктивність конденсаторів –  $Q_k$ ;
- температура конденсації агенту –  $t_k$ .

Вихідні параметри охолоджуючої системи (блок 10) і компресорно-конденсаторного відділення (блок 15) за кількістю одиниць відповідного обладнання та сумарними витратами на електропостачання діючого обладнання застосовувались розрахунками цільової функції (блок 16) за рівнянням (16).

При оптимізації використано метод прямого пошуку Хука-Джінса.

На відміну від відомих моделей у задачі, яка розглядається, вибір числа ступенів стиснення компресорів використовувався системою як додатковий аргумент у процесі дії мінімізації цільової функції. Запропонований варіант моделі дозволяє також здійснити структурний аналіз з позиції вибору найбільш економічного складу устаткування холодильної установки.

У шостому розділі наведені результати розв'язання задач статичної оптимізації режимів роботи теплообмінних апаратів повітряного охолодження у холодильних установках загальнопромислового призначення.

Значення оптимальних різниць температур у повіtroохолоджувачі ( $\theta_0, \Delta t_0$ ) і конденсаторі повітряного охолодження ( $\theta_k, \Delta t_k$ ) при фіксованій температурі зовнішнього середовища ( $t_{\text{ам}} = 20^\circ\text{C}$ ) і різних температурах в охолоджуваному об'єкті ( $t_{\text{кам}} = -30...0^\circ\text{C}$ ) при безперервній роботі установки протягом року ( $t = 8720$  годин) наведені на рис. 14. На цьому рисунку простежується температурний стрибок оптимальних значень ( $\theta_0, \Delta t_0, \theta_k, \Delta t_k$ ) в області зміни розрахункового числа ступенів стиснення компресорів для холодильної установки із насосно-циркуляційною охолоджуючою системою. При переході до двоступеневого варіанта схеми при значному зниженні експлуатаційних витрат (~30%) наведені витрати зменшилися на 10%. Останнє виявилося наслідком збільшення капітальних вкладень.

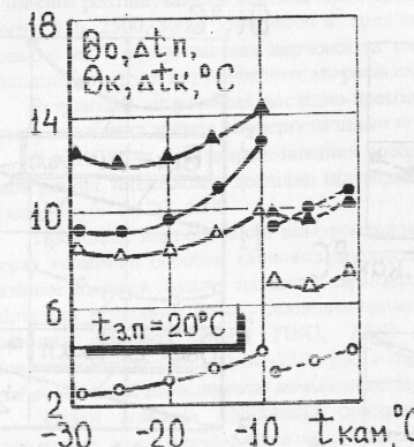


Рис.14 Оптимальні значення перепадів температур в теплообмінних апаратів холодильної установки

- $\theta_0$  – температурний напір у повітряохолоджувачі;
- $\Delta t_0$  – підохолодження повітря у повітряохолоджувачі;
- ▲  $\theta_k$  – температурний напір у КПО;
- △  $\Delta t_k$  – підігрів повітря у КПО;
- двоступеневий цикл;
- - - одноступеневий цикл

Область температурного переходу до двоступеневого варіанта роботи не була сталою величиною. Як було встановлено, вона залежала від типу охолоджуючої системи, а також від прийнятого складу устаткування, яке комплектує установку.

В результаті аналізу впливу різних факторів на значення оптимальних параметрів було встановлено, що вони не залежать від температури зовнішнього повітря ( $t_{\text{н}} = \text{var}$ ), коефіцієнтів корисної дії вентиляторів апаратів повітряного охолодження (кількості циркуляції холодоагенту, гіdraulічних втрат у насосному контурі) і характеристик насосів холодоагенту. На протилежність відміченому, оптимальні параметри ( $\theta_0, \Delta t_n, \theta_k, \Delta t_k$ ) залежали від ціни електроенергії і числа годин роботи установки за рік.

Збільшення втрат напору на боці повітря у конденсаторах повітряного охолодження (КПО) не впливало на значення температурного напору ( $\theta_0$ ) і підохолодження повітря ( $\Delta t_n$ ) в повіtroохолоджувачі і приводило до зростання аналогічних параметрів ( $\theta_k, \Delta t_k$ ) у конденсаторі. Зміна втрат напору на боці повітря у повіtroохолоджувачі мала різний вплив на оптимальні параметри залежно від температури повітря в охолоджуваному об'єкті ( $t_{\text{кам}}$ ).

На підставі оптимізаційних розрахунків встановлено, що значення параметрів, що нормуються ( $\theta_0, \Delta t_n, \theta_k, \Delta t_k$ ), які використовуються у практиці проектування та експлуатації холодильних установок, не відповідають сучасному стану економіки

Для повіtroохолоджувачів зіставлення запропонованих і розрахункових значень змін температур наведено на рис.15. Якщо для підохолодження повітря у повітрових охолоджувачах ( $\Delta t_n$ ) діючі рекомендації можна залишити без змін, то для температурних напорів ( $\theta_0$ ) при двоступеневому варіанті схеми вони повинні бути змінені.

Зіставлення рекомендованих (1,2) і розрахункових значень температурних напорів і підохолодження повітря в апаратах

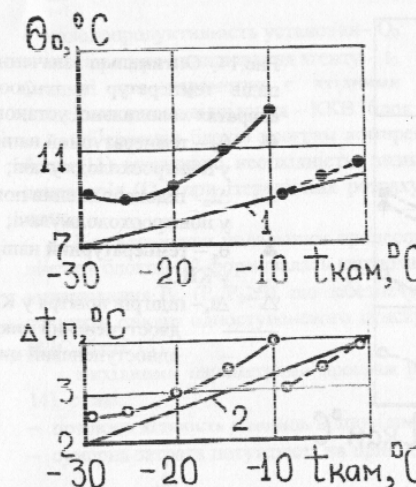


Рис.15 Зіставлення для повіtroохолоджувача

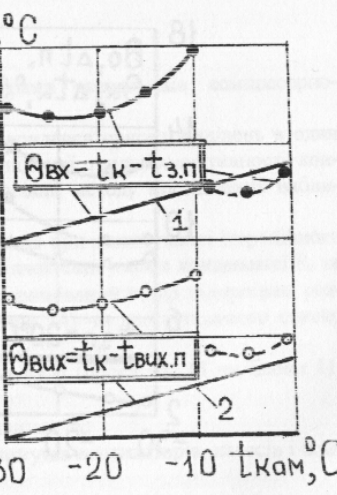


Рис.16 Зіставлення для КПО

Для конденсаторів повітряного охолодження значні розбіжності розрахункових і запропонованих значень температурних різниць (рис.16) також властиві області двоступеневого варіанта схеми установки.

Проведене порівняння зазначених витрат на установки, що укомплектовані різними типами КПО і повіtroохолоджувачів, показало, що теплообмінники повітряного охолодження на базі теплообмінних поверхонь, виготовлених методом літва під тиском, мають економічні переваги.

У сьомому розділі наведено опис конструкції дослідних зразків теплообмінників повітряного охолодження (міжступеневих і кінцевих охолоджувачів повітря, конденсаторів повітряного охолодження і повіtroохолоджувачів).

Отримані результати міжвідомчих випробувань міжступеневого охолоджувача повітря МО-480, виготовленого на базі поверхонь з біссегментним оребренням, підтвердили високі теплотехнічні та експлуатаційні характеристики апарату. Тиск повітря на вході МО-480 дорівнює 0.387 МПа, на виході – 0.377 МПа. Таким чином, втрати натиску не перевишили 10 кПа, що у 2-2.5 рази менше, ніж у зразках серійних апаратів ВОТ-465. Температура повітря на виході МО-480 (головний показник) не перевищує 49 °C, що на 11 °C менше, ніж у серійному апараті ВОТ-465.

За рекомендаціями міжвідомчої комісії на підприємствах України налагоджено випуск міжступеневих охолоджувачів повітря – МО-600 на основі поверхонь з біссегментним оребренням.

Загальна сумарна зовнішня поверхня виготовлених апаратів становить 11400 м<sup>2</sup>.

У результаті міжвідомчих випробувань конденсаторів повітряного охолодження КПО-836ЛП (ТЗБ-1, м.Іллічівськ, Одеська обл.) та КПО-4000ЛП (ВО «Азот», м.Гродно, Біларусь), виготовлених на базі високореберних поверхонь А-4 і А6, їм надана перша категорія якості. За рекомендаціями міжвідомчої комісії виконана розробка технічної документації на серію конденсаторів повітряного охолодження з боковим та нижнім розташуванням вентиляторів. Зразки апаратів з площинною поверхні теплообміну 836, 2500, 3000, 3300, 4000 м<sup>2</sup> пред'явлені міжвідомчим комісіям. КПО впроваджено на 7 підприємствах харчової та хімічної промисловості. Загальна сумарна зовнішня поверхня впроваджених апаратів становить 60870 м<sup>2</sup>.

Результати зіставлення дослідно-промислових і серійних КПО підтвердили перевагу дослідних зразків за енергетичними показниками.

Для КПО на базі запропонованих оребрених поверхонь ( $\beta = 32.5$  і  $\beta = 36.4$ ) за умов рівних теплозіометрів дослідно підтверджено зменшення потреб на цільнотягнуті стальові труби на 26...69%.

Проведені випробування повіtroохолоджувачів ПО-БП-250 і ПОП-100ЛП у рамках термічної обробки харчових продуктів підтвердили високі експлуатаційні показники апаратів. Аналіз теплових характеристик повіtroохолоджувачів показав, що кількість теплового потоку дослідно-промислового апарату на 12-40% вище, ніж у серійних апаратів ВОП, ПВО, НВО в аналогічних умовах експлуатації. Повіtroохолоджувачі ПО-БП-250 і ПОП-100ЛП витримали міжвідомчі випробування і запропоновані міжвідомчою комісією до серійного виробництва.

Зразки апаратів площинною поверхні теплообміну 75, 100, 250, 400 м<sup>2</sup> пред'явлені міжвідомчим комісіям. Повіtroохолоджувачі на базі теплообмінних поверхонь, виготовлених при використанні технологічного процесу літва під тиском, упроваджені на 5 холодильниках.

На повіtroохолоджувачі утворено технічні умови (ТУ28 УРСР-259-86). Їх серійне виробництво налагоджено на ВО «Украгропромреммаш» (м.Оріхів Запорізької області).

порізької області). За термін з 1988 по 1998 рр. виготовлено 642 повітрово-охолоджувача.

На апарати на базі запропонованих реберних поверхонь отримані авторські свідоцтва.

### ОСНОВНІ ВИСНОВКИ І РЕКОМЕНДАЦІЇ

- Комплексом виконаних досліджень здійснено розв'язання проблеми створення трубчасто-реберних поверхонь теплообмінних апаратів повітряного охолодження з новими типами оребрення, які забезпечують зниження енергоспоживання на 37-57% поверхні апаратів на 47%.
- Одержані значення термічного контактного опору, аналітичні рівняння щодо розрахунку ефективності ребер нових видів та емпіричні узагальнюючі залежності з розрахунку теплових і аеродинамічних характеристик шахових пучків труб покладені в основу проектування апаратів повітряного охолодження різного призначения.
- Методами локальної діагностики температурних полів теплообмінних елементів і повітря у міжреберній порожнині визначені пляхи інтегсафікації теплообміну, реалізовані у створенні трубчасто-реберників поверхонь з бісегментним оребренням.
- При охолодженні великих об'ємів компріміруючого повітря підвищення енергетичної ефективності теплообмінників забезпечується використанням поверхонь з бісегментним оребренням з орієнтацією меншої осі ребра в пучках труб апарату у напрямку потоку повітря, що охолоджується.
- Для конденсаторів повітряного охолодження, виготовлених з оребрених труб з високим значенням коефіцієнта оребрення ( $\beta = 32.5$ ;  $\beta = 36.4$ ), витрати цільноягнутих сталевих труб і відповідно холодаємкість апаратів при рівних теплозимах ( $Q_k = idcm$ ) скорочуються на 20-60%, порівняно з серійними апаратами.
- Попіщення термогідравлічних характеристик повітряних теплообмінників у діапазоні зміни питомої витрати потужності ( $N_0 = 0.4 \dots 3 \text{ Bt/m}^2$ ) на транспорт охолоджуючого потоку повітря досягається використанням високореберних систем тепловідводу зі змінним профілем ребер, які забезпечують зниження металоємкості апаратів.
- Надійність теплового контакту різномірних металів основної сталевої труби і алюмінієвого оребрення муфтового типу, який забезпечується технологічним процесом литья під тиском, не обмежує області раціонального використання відмінних поверхонь у конструкціях проміжних і кінцевих теплообмінників при передачі великих питомих теплових потоків ( $q_{k_n} = 7600 \text{ Bt/m}^2$ ).
- Розроблена математична модель може бути використана для структурного і параметричного аналізів холодильної установки з метою обґрунтування оптимальних умов її експлуатації і скономічного вибору комплектуючого устаткування.
- Встановлено, що існуючі нормативні параметри оптимальної експлуатації повітряних теплообмінників не відповідають сучасному стану економіки.
- Приймальні (міжвідомчі) випробування, які були проведені на об'єктах підприємств харчової та хімічної промисловості, підтвердили високі експлуатаційні показники теплообмінних апаратів на базі запропонованих типів оребрення. За результатами випробувань повіtroохолоджувачі постаментного і підвісного типів, конденсатори з боковим і нижнім розташуванням вентиляторів та

міжступеневі охолоджувачі повітря рекомендовано міжвідомчими комісіями до серійного виробництва.

### ЗМІСТ ДИСЕРТАЦІЙ ОПУБЛІКОВАНО В РОБОТАХ:

- Выбор скорости воздуха в аппаратах с воздушным охлаждением / Чепурненко В.П., Лисин В.В., Кроль В.М., Лагутин А.Е. – Холодильная техника и технология. Респ. межвед. науч.-техн.сб. 1979. – вып.28. – С.64–66.
- Результаты исследований воздушных конденсаторов / Чепурненко В.П., Лагута Л.Ф., Лагутин А.Е., Гоголь Н.И., Ефанов М.В., Ноур А.И. – Холодильная техника и технология. Респ. межвед. науч.-техн.сб. – 1981. – вып. 33. – С.18–22.
- Исследование постаментных воздухоохладителей из литьей биметаллической оребренной поверхности / Чепурненко В.П., Хмаладзе О.Ш., Лагута Л.Ф., Лагутин А.Е., Гоголь Н.И., Мельников П.И. – Холодильная техника и технология. Респ. межвед. науч.-техн.сб. – 1982. – вып.35. – С.18–22.
- Чепурненко В.П., Игнатенко М.М., Лагутин А.Е. Расчет тепловой эффективности радиального ребра переменного профиля // Холодильная техника и технология. Респ. межвед. науч.-техн.сб. – 1987. – вып.43. – С.45–50.
- Исследование теплоотдачи и аэродинамического сопротивления пучков труб с ребрами переменного профиля / Чепурненко В.П., Лагутин А.Е., Гоголь Н.И., Пархоменко А.П. – Химическое и нефтяное машиностроение.– 1988. – №7. – С.7-9.
- Гоголь Н.И., Лагутин А.Е., Чепурненко В.П. Экспериментальное исследование теплоотдачи и аэродинамического сопротивления пучков труб с поперечными ребрами бисегментной формы // Холодильная техника и технология. Респ. межвед. науч.-техн.сб. – 1988. – вып.47. – С.61–63.
- Разработка и испытание усовершенствованной конструкции межступенчатого теплообменника компрессорных установок / Мягких В.С., Вознесенский Р.Г., Демидов А.Е., Петров Н.И., Чепурненко В.П., Гоголь Н.И., Лагутин А.Е. – Химическая промышленность.– 1990. – №6. – С.38-40.
- Лагутин А.Е. Сопоставление пучков труб с усовершенствованными формами ребер // Придніпровський науковий вісник Технічні науки.– 1998. – №27(94). – С.1-7.
- Лагутин А.Е. Обобщение опытных данных по теплообмену пучков труб с высокими ребрами // Придніпровський науковий вісник Технічні науки.– 1998. – №27(94). – С.7-14.
- Лагутин А.Е. Обобщение опытных данных по аэродинамическому сопротивлению пучков труб с высокими ребрами // Придніпровський науковий вісник Технічні та сільськогосподарські науки.– 1998. – №66 (133).– С.13–18.
- Лагутин А.Е. Математическая модель оптимизации компрессорной холодильной установки // Придніпровський науковий вісник Технічні та сільськогосподарські науки. - 1998. – №66 (133).– С.1–7.
- Лагутин А.Е. Оптимизация режимов работы воздушных конденсаторов холодильных установок // Придніпровський науковий вісник Технічні науки.– 1998. – №72 (139).– С.75–80.
- Чепурненко В.П., Игнатенко М.М., Лагутин А.Е. Оценка эффективности теплонередачи оребрених труб. Деп. в УкрНИИНТИ 01.07.86, №1519-Ук86. Депонированные научные работы №11(181)-М., 1986. – 25 с.
- Разработка и исследование высокоеффективных воздухоохладителей для холодильных камер / Чепурненко В.П., Хмаладзе О.Ш., Лагута Л.Ф., Лагутин А.Е., Годильных камер / Чепурненко В.П., Хмаладзе О.Ш., Лагута Л.Ф., Лагутин А.Е., Годильных камерах // УкрНИИНТИ 01.07.86, №1519-Ук86. Депонированые научные работы №11(181)-М., 1986. – 25 с.

- голь Н.И., Мельников П.И. – В сб. Материалы республиканской научно-практической конференции работников холодильной промышленности.– Ростов-на-Дону: Росмисомолторг, 1980.– С.71–82.
15. Исследование конденсаторов аммиака с воздушным охлаждением для холодильных установок и их внедрение на предприятиях Росмисомолторга / Чепурненко В.П., Лагутин А.Е., Гоголь Н.Н., Ноур А.И., Лагота Л.Ф. – В сб. Материалы республиканской научно-практической конференции работников холодильной промышленности.– Ростов-на-Дону: Росмисомолторг, 1980.– С.82–98.
16. Chepurnenko V.P., Lagoutin A.E., Gogol N.I. Recherches dans le domaine d'échange thermique et d'aérodynamique des faisceaux de tubes ailetteés à une forme perfectionnée des ailettes // Proceedings of the XVIII-th Congress of the Refrigeration, Montreal, Quebec, Canada, 1991, pp. 1294–1297.
17. Mendoza R.M., Chepurnenko V.P., Lagutin A.E. Optimisation of working regimes of a refrigerating plant at multi-scale cost of electroenergy // Proceedings of the XVIII-th Congress of the Refrigeration, Montreal, Quebec, Canada, 1991, pp. 1236–1239.
18. Chepurnenko V.P., Lagutin A.E., Gogol N.I. An investigation of heat exchange during condensation of ammonia inside a pipe at heat flow densities – Energy efficiency in refrigeration and global warming impact // I.I.R. Comission B 1/2 – Cent, Belgium. – 1993 – PP. 243–249.
19. Capacity of refrigeration units condensers, when different constructions of connecting circuits are used / Chepurnenko V.P., Gogol N.I., Lagutin A.E., Batal O.N. – Proceedings, International conference CFCs, The Day After, Padova, Italy, 1994, PP.659–666.
20. Investigation of thermal resistant contact in bitemal extended heat exchange surfaces / Chepurnenko V.P., Lagutin A.E., Gogol N.I., Schuiling R.D. – Proceedings IIIa, 19-th International congress of Refrigeration, The Hague, the Netherlands, 1995(3), pp.62–66.
21. Experimental investigation of heat exchange process under intensive moisture condition / Chepurnenko V.P., Lagutin A.E., Gogol N.I., Moinuddin H.M. – Proceedings of the 1996 International Compressor Engineering Conference, Purdue, University West Lafayette, Indiana, USA, 1996, vol. 1, pp.211–216.
22. Исследование и проектирование воздухоохладителей из литой биметаллической поверхности / Чепурненко В.П., Хмаладзе О.Ш., Мельников Н.И., Лагутин А.Е., Киндеро Кабрера.- В сб. Тезисы докладов Всесоюзного семинара "Использование достижений холодильной техники и технологий в целях повышения эффективности пищевых производств".– Москва.– 1981.– С.50–51.
23. Применение теплообменных аппаратов воздушного охлаждения в безотходных производствах искусственного холода / Чепурненко В.П., Лагота Л.Ф., Гоголь Н.И., Лагутин А.Е., Пархоменко А.Л. – В сб. Тезисы докладов Всесоюзного семинара "Использование достижений холодильной техники и технологий в целях повышения эффективности пищевых производств".– Москва.– 1981.– С.51–52.
24. Гоголь Н.И., Чепурненко В.П., Лагутин А.Е. Исследование процессов теплообмена в воздушных конденсаторах аммиака.– В сб. Тезисы докладов Всесоюзной научно-практической конф. "Интенсификация производства и применение искусственного холода".–Л.: 1986.– С.10–11.
25. Особенности процессов конденсации в воздушных конденсаторах аммиака / Гоголь Н.И., Чепурненко В.П., Лагутин А.Е., Мельников П.И. – В сб. Тезисы докладов научно-практической конференции "Искусственный холод в отраслях агропромышленного комплекса".– М.: 1987.– С.51.

26. Чепурненко В.П., Гоголь Н.И., Лагутин А.Е. Исследование и создание эффективных теплообменных аппаратов компрессорных установок химических производств.– В сб. Тезисы докладов VII Республикаской конференции "Повышение эффективности, совершенствование процессов и аппаратов химических производств".– Львов.– 1988.– С.103–104.
27. Экспериментальное исследование теплоотдачи при конденсации насыщенных и перегретых паров аммиака внутри труб, охлажденных воздухом / Чепурненко В.П., Гоголь Н.И., Лагутин А.Е., Мельников П.И.– В сб. Тезисы докладов Всесоюзной научно-практической конференции "Пути интенсификации производства с применением искусственного холода в отраслях агропромышленного комплекса в торговле и на транспорте".– Одесса.–1989.– С.70.
28. L'Optimisation des installations frigorifiques sur la base d'analyse thermoeconomique / Mendoza R.M., Chepurnenko V.P., Lagutin A.E., Gogol N.I. // I conferencia internacional de refrigeracion, climatizacion y energia no convencional. – Reclien'90, La Habana, Cuba, 1990.– P.29.
29. Исследование термогидравлических процессов в параллельно подключенных конденсаторах холодильных установок / Батал Омар, Гоголь Н.И., Лагутин А.Е., Чепурненко В.П. – В сб. Теория и практика вузовской науки. Материалы 60-й учебно-методической и научно-практической конференции ОГАХ.– Одесса.– 1995.– С.19–20.
30. А.с. 1345047 СССР, МКИ F 28 D 7/16, F 28 F 1/24. Пучок труб аппарата воздушного охлаждения / В.П.Чепурненко, Н.И.Гоголь, А.Е.Лагутин (СССР).– №3924049/24–06; Заявлено 5.05.85; Опубл. 15.10.87, Бюл. №38.– 4 с.
31. А.с. 1399632 СССР, МКИ F 28 D 7/16, F 28 F 1/24. Теплообменник / В.П.Чепурненко, А.Е.Лагутин, Н.И.Гоголь, В.С.Мягких, Р.Г.Вознесенский, В.А.Мазух, И.Ю.Шварцбурд, А.Е.Демидов, Н.Н.Петров (СССР).– №4146564/24–06; Заявлено 12.11.86; Опубл. 1.02.88, Бюл. №20.– 4 с.
32. А.с. 1553814 СССР, МКИ F 28 D 7/06. Теплообменник с воздушным охлаждением / В.П.Чепурненко, Н.И.Гоголь, А.Е.Лагутин, О.Ш.Хмаладзе, П.И.Мельников (СССР).– №4423085/24–06; Заявлено 15.03.88; Опубл. 30.03.90, Бюл. №12.– 3 с.
33. А.с. 1815580 СССР, МКИ F 28 D 15/00. Воздухоохладитель / М.М.Голанда, В.П.Чепурненко, Н.И.Гоголь, А.Е.Лагутин, О.Ш.Хмаладзе (СССР).– №4734773/06; Заявлено 28.06.89; Опубл. 15.05.93, Бюл. №18.– 3 с.

#### УМОВІ ПОЗНАЧЕННЯ ТА ІНДЕКСИ

$Nu$  – число Нуссельта;  $Re$  – число Рейнольдса;  $Eu$  – число Ейлері;  $S_1$  – поперечний крок труб;  $S_2$  – подовжній крок труб;  $N_0$  – витрати потужності на одиницю теплообмінної поверхні;  $\phi$ ,  $\theta$  – кут;  $R$ ,  $r$  – радіус, термічний опір;  $T$ ,  $T_1$  – відповідно температури поверхні і навколошнього середовища;  $T_0$  – температура біля основи ребер;  $Q_0$  – тепловий потік, який передається ребром;  $Q_1$  – тепловий потік, який передається ребром при  $T=T_0$ ;  $B_{10}$  – число Біо;  $I$  – функція Бесселя;  $K$  – функція Маклорнальда;  $C_e$  – ширина електроенергії;  $N_i$  – витрати потужності  $i$ -го елемента устаткування;  $Z_{hi}$  – порт;  $Q_0$  – тепlopродуктивність;  $E$  – ефективність, енергетичний коефіцієнт;  $Z_{hi}$  – портативні відрахування;  $Z_i$  – відрахування на реновацию та ремонт;  $\tau$  – тривалість роботи;  $d$  – діаметр труби;  $\alpha$  – коефіцієнт тепловіддачі;  $\delta_p$  – товщина ребра;  $\lambda$  – коефіцієнт тепlopровідності;  $\delta$  – найбільша товщина ребра;  $\delta_0$  – найменша товщина ребра;

$t$  – температура;  $\beta$  – коефіцієнт оребрення;  $\varphi$  – ступінь оребрення;  $z$  – зовнішня;  $v_i$  – внутрішня;  $r$  – ребро;  $w$  – поверхня, рідина;  $p$  – повітря;  $k$  – контакт, конденсація, конвекція;  $pr$  – приведений;  $v_h$  – вход;  $v_{ih}$  – вихід.

## АННОТАЦІЯ

Лагутін А.Ю. Удосконалення апаратів повітряного охолодження із трубчасто-реберними поверхнями (теорія і практика). – Рукопис.

Дисертація на здобуття вченого ступеня доктора технічних наук за спеціальністю 05.04.03 - холодильна і криогенна техніка, системи кондиціонування. – Одеська державна академія холоду, м.Одеса, 1998.

Теоретично і експериментально досліджено різні модифікації трубчасто-реберних теплообмінних поверхонь, виготовлених методом литья під тиском. Дослідно підтверджена енергетична доцільність використання теплообмінних поверхонь з новою формою (бісегмент) та профілем (змінна товщина) ребер. На підставі математичного моделювання обґрунтовано оптимальні режими експлуатації теплообмінних апаратів повітряного охолодження. Розроблено і досліджено дослідні зразки повітряних теплообмінників різного призначення на базі запропонованих нових видів теплообмінних поверхонь. Розроблені теоретичні основи їх проектування.

Ключові слова: теплоіндудація, аеродинаміка, тепlopровідність, термічний опір, оптимізація, теплообмінник.

## АННОТАЦИЯ

Лагутин А.Е. Совершенствование аппаратов воздушного охлаждения с трубчато-ребристыми поверхностями (теория и практика). Рукопись.

Диссертация на соискание ученым степени доктора технических наук по специальности 05.04.03 – холодильная и криогенная техника, системы кондиционирования. – Одесская государственная академия холода, Одесса, 1998.

Теоретически и экспериментально исследованы различные модификации трубчато-ребристых теплообменных поверхностей, изготовленных методом литья под давлением. Опытно подтверждена энергетическая целесообразность использования теплообменных поверхностей с новой формой (бисегмент) и профилем (переменная толщина) ребер. На основании математического моделирования обоснованы оптимальные режимы эксплуатации теплообменных аппаратов воздушного охлаждения. Разработаны и исследованы опытные образцы воздушных теплообменников различного назначения на базе предложенных новых видов теплообменных поверхностей. Разработаны теоретические основы их проектирования.

Ключевые слова: теплоотдача, аэродинамика, теплопроводность, термическое сопротивление, оптимизация, теплообменник.

## ABSTRACT

Lagutin A.Ye. Improvement of air-cooling apparatus with tubular-finned surfaces (Theory and practice). – Manuscript.

The thesis for a scientific degree of Doctor of Sciences (Engineering) in speciality 05.04.03 – refrigerating and cryogenic engineering, air-conditioning systems. – Odessa State Academy of Refrigeration, Odessa, 1998.

Different modification of tubular-finned heat-exchanging surfaces made by means of die casting have been studied theoretically and experimentally. Energy expedience of using heat-exchanging surfaces of a new shape (bisegment) and fin section (varying thickness) has been confirmed experimentally. On the basis of mathematical modelling optimal operating conditions have been motivated for heat exchanging apparatus of air cooling. Phototypes of air heat-exchangers for different purposes have been developed and studied on the basis of new types of heat exchanging purposes offered. Theoretical grounds of their designing have been developed.

Key words: heat transfer, aerodynamics, heat conduction, thermal resistance, optimization, heat-exchanger.

м.Одеса, ротапринт ОДАХ. Підписано до друку 14.10.98 р.  
Обсяг 2.0 д.а., тираж 110. Замовлення №236-98